

## **OLGU BİLDİRİMİ**

### **SUBMANDİBULER SİYALOLİT TANISINDA GÖRÜNTÜLEME YÖNTEMLERİ-OLGU SERİSİ**

### **DIAGNOSTIC IMAGING OF SUBMANDIBULAR SIALOLITH-CASE SERIES**

*Ülkem AYDIN\**

*Ahmet YEŞİLDAG†,*

*Orhan OYAR‡,*

*Ufuk GÜLSOY\**

#### **ÖZET**

Siyalolitler, majör ve minör tükürük bezlerinde veya kanallarında oluşan taşlardır. Vaka serimizde beş submandibuler siyalolit olgusunun dördü panoramik radyografta tespit edilmiş; bir olguda da siyalolit okuzal radyografta izlenmiştir. Ultrasonografik inceleme yapılan üç olgunun birinde siyalolit hiperechoik kitle olarak, birinde posterior akustik gölge ile birlikte hiperechoik olarak görüntülenmiş, bir olguda ise siyalolite uyumlu görüntü elde edilememiştir. Ultrasonografide siyalolit izlenememesi nedeni ile sialografi yapılan olguda intraglandular kanallar ve Wharton kanalının durumu izlenememiş; siyalolitte uyumlu, tükürük akışına izin veren kısmi dolum defekti gözlenmiştir. Submandibuler siyalolitlerin görüntülenmesinde okuzal ve panoramik radyograflardan ve ultrasonografiden, gerekirse sialografiden yararlanılabilir.

**Anahtar Kelimeler:** Siyalolit, görüntüleme, ultrasonografi, radyografi, sialografi.

#### **SUMMARY**

Sialoliths are stones occurring in the major or minor salivary glands. In our case series, four out of five submandibular sialoliths were detected on the panoramic radiographs, and one case was detected on the occlusal radiograph. In one of the cases that we examined ultrasonographically, sialolith was demonstrated as a hyperechoic mass, and the other was found as a hyperechoic mass together with posterior acoustic shadow. In the case that we performed sialography as we could not demonstrate the sialolith on ultrasonography, the status of the intraglandular canalicles and Wharton's duct could be seen, and a partial filling defect that permits salivary flow, was detected. Occlusal and panoramic radiographs and ultrasonography, and if needed, sialography can be used in the imaging of sialoliths.

**Key Words:** Sialolith, imaging, radiography, ultrasonography, sialography.

\* Süleyman Demirel Üniversitesi Dişhek. Fak, Oral Diagnoz ve Radyoloji Bölümü, Yrd. Doç. Dr.

† Süleyman Demirel Üniversitesi Tip Fak. Radyoloji AD, Yrd. Doç. Dr.

‡ Süleyman Demirel Üniversitesi Tip Fak. Radyoloji AD, Prof. Dr.

## GİRİŞ

Siyalolitlerin yaklaşık %80'i Wharton kanalı ve submandibuler bezde oluşur. Orta ve daha ileri yaşlardaki erkeklerin submandibuler bezlerinde sık rastlanır. Genellikle tek sayıdadır ancak bazen çok sayıda da olabilir.<sup>4, 7, 10</sup>

Siyalolit kritik bir boyaya veya pozisyon'a geldiğinde kanal kısmen veya tamamen tıkanarak sialadenitis gelişebilir. Hastalarda bazen ağrı olmamıştır ancak çoğunlukla ağız tabanı ve ilgili bez bölgesinde ağrı ve şişlik hikayesi vardır. Bu ağrı ve şişlik tipik olarak yemeklerden önce ve yemek sırasında artar. Siyalolitler tükürük akışında azalmaya neden olur. Wharton kanalının anterior 2/3'ünde yer alan siyalolitlerde palpasyonda sertlik hissedilebilir<sup>7, 10</sup>.

Okluzal ve panoramik radyograflar, ultrasonografi (US) ve sialografi, submandibuler siyalolitlerin görüntülenmesinde yararlanılabilen teknikleridir.<sup>3, 6, 11</sup> Submandibuler siyalolitlerin %20'den fazlası radyoopaktır.<sup>7</sup> Bilgisayarlı tomografi, manyetik rezonans sialografi ve sialoendoskopi de son zamanlarda gündeme gelmiş görüntüleme yöntemleri olmakla beraber rutin kullanımında değildir.<sup>2, 3</sup> Kalsifiye lenf nodları ve diğer oluşumların siyalolitlerden ayırdedilmesi gereklidir.<sup>4, 10</sup>

Bu vaka serisi, submandibuler siyalolitlerin görüntülenmesinde yararlanılabilen tekniklerini gözden geçirmek amacıyla sunulmuştur.

## OLGU RAPORLARI

### Olgu 1

47 yaşında erkek hasta ağız tabanında sertlik hissettiğini ve bu bölgede ağrısı olduğunu belirterek başvurdu. Ekstraoral muayenede sol submandibuler lenfadenopati tespit edildi. İnteraoral muayenede karnukula sublingualis bölgesinde şişlik ve kızarıklık, palpasyonda ise ağız tabanında, premolar bölge hizasında sert kitle tespit edildi.

Alınan okluzal radyografta, sol premolar dişlerin lingualinde, hafif radyoopak, bir siyalolit tespit edildi (Resim 1).

Siyalolit manuel manipülasyonla kanal ağızına getirilerek preselle çıkarıldı.



Resim 1. Okluzal radyografta premolar dişlerin lingualinde siyalolit (Olgu 1).

### Olgu 2

27 yaşında sağlıklı erkek hasta yemek sırasında artan ağruları nedeni ile başka bir merkeze başvurmuş ve siyalolit ön tanısı koymuş ancak kendi ifadesine göre ısrırtılan bir film çekilmesine rağmen görüntülenmemiştir. Hasta kliniğimize taşın görüntülenmesi isteği ile başvurdu. Sevk problemleri nedeni ile ultrasonografik inceleme yapılamadı. Daha önce alınmış olan okluzal radyografda siyalolitin mandibula altına süperpoze olmuş olabileceği düşünüldü. Hastadan panoramik radyograf alındı ve sol mandibula altında, retromolar bölge hizasında, hafif radyoopak oluşum gözlendi (Resim 2).



Resim 2. Panoramik radyografta sol mandibula altında, retromolar bölge hizasında siyalolit (Olgu 2).

Hasta şikayetleri ile birlikte değerlendirildiğinde görüntü siyalolit ile uyumlu bulundu. Hasta tedavisini daha önce müracaat ettiği merkezde yaptıracağını belirtti.

**Olgı 3**

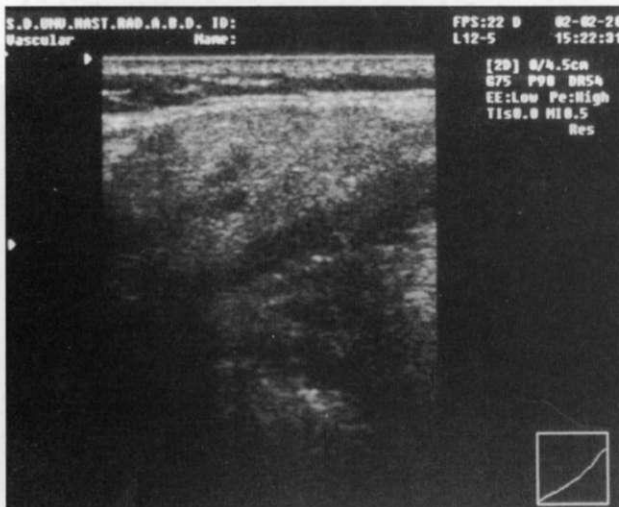
43 yaşındaki kadın hasta protez altında doku büyümesi şikayeti ile başvurdu. Ekstraoral muayenede lenfadenopati, intraoral muayenede epulis fissuratum tespit edildi.

Panoramik radyografta sağ posterior mandibula altında, radyoopak, sınırları belirgin ve oldukça düzenli, yaklaşık 1 cm çapında yuvarlak oluşum gözlandı (Resim 3). Okluzal radyografta siyalolite ait bulgu elde edilemedi. S.D.Ü. Tıp Fakültesi Radyoloji AD. kliniğinde yapılan ultrasonografik incelemede lenfadenopatiyi temsil eden, hipoekoik yapıda, yaklaşık 1 cm. çapında, düzgün konturlu oval yapı izlendi.

(Resim 4). US'de siyalolit tespit edilemedi ancak intraglandüler kanaliküller normalden genişti (Resim 5).



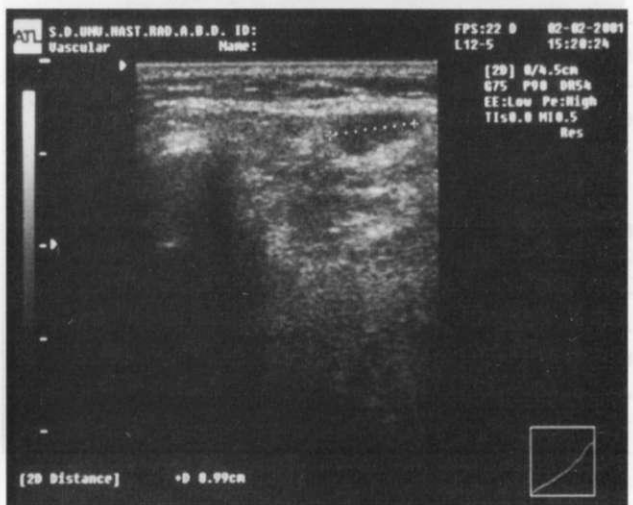
**Resim 3.** Panoramik radyografta sağ posterior mandibula altında siyalolit (Olgı 3).



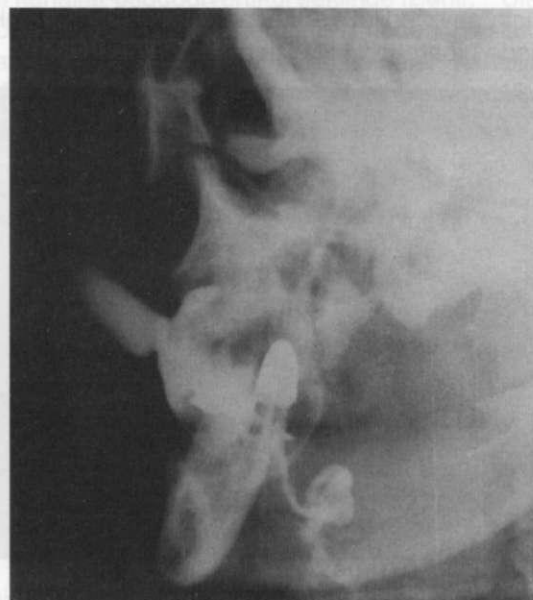
**Resim 4.** US'de lenfadenopatiyi temsil eden yapı (Olgı 3).

Siyalolit tanısını kesinleştirmek ve kesin lokalizasyonunu saptamak için sağ submandibuler sialografi yapıldı. Wharton kanal ağızı 25 no. intraket ile kanüle edildi, 2 cc. kadar suda çözünür radyokontrast madde (Ultravist, Schering, Almanya) caruncula submandibularisten verildi ve hemen ardından lateral kafa grafisi alındı. Sialografide intraglandüler kanallarda genişleme izlendi, Wharton kanalının çapı normaldi ve bezle birleştiği bölgede yaklaşık 7 mm çapında kısmi dolum defekti izlendi (Resim 6).

Siyalolit teşhisi koyuldu ancak hasta şikayeti olmadığı gerekliliği ile cerrahi tedaviyi kabul etmedi.



**Resim 5.** US'de hipoekoik olarak izlenen genişlemiş intraglandüler kanaliküller (Olgı 3).

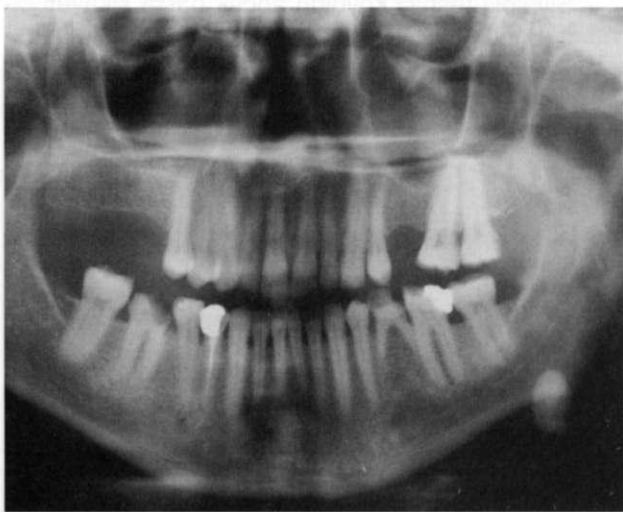


**Resim 6.** Sialografide kısmi dolum defekti (Olgı 3).

#### Olgı 4

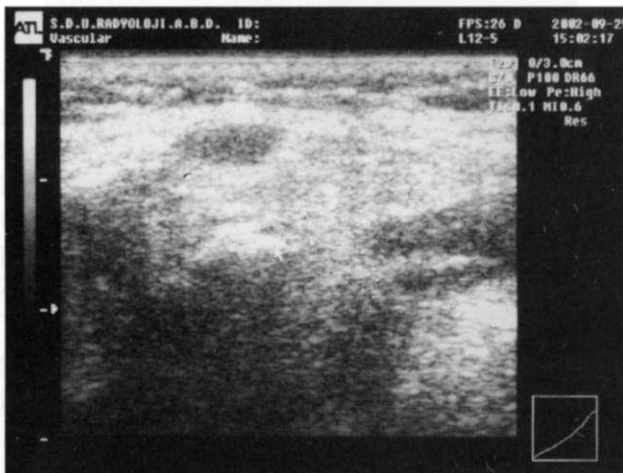
54 yaşında kadın hasta protez yaptırmak amacıyla kliniğimize başvurdu. Ekstraoral muayenede lenfadenopati tespit edildi. İnteror muayene bulguları normaldi.

Panoramik radyografta sol retromolar bölge hızında, belirgin sınırlı, oval, radyoopak bir oluşum gözlandı. Oluşumun yaklaşık yarısı mandibulaya süperpoze olmuştu (Resim 7). Okluzal radyografide



Resim 7. Panoramik radyografta sol retromolar bölge hızında, kısmen mandibulaya süperpoze siyalolit (Olgı 4).

bulgu elde edilemedi. Hasta ultrasonografik inceleme için sevk edildi ve submandibuler bezin proksimalinde hiperekoik kitle izlendi (Resim 8).



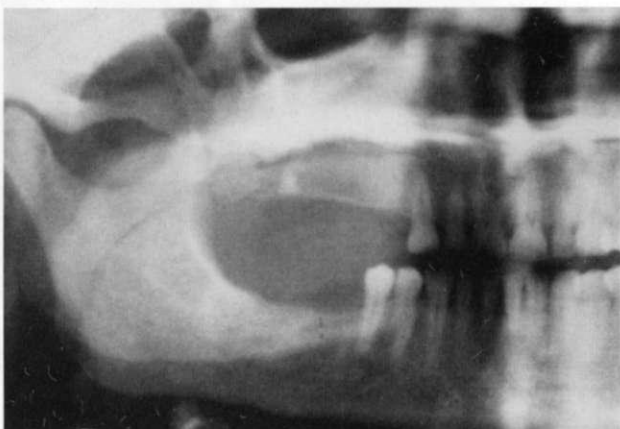
Resim 8. US'de submandibuler bezin proksimalinde hiperekoik kitle (Olgı 4).

Klinik, radyografik ve ultrasonografik bulgular siyalolit uyumlu bulundu, ancak hasta şikayeti olmadığını belirterek tedaviyi kabul etmedi.

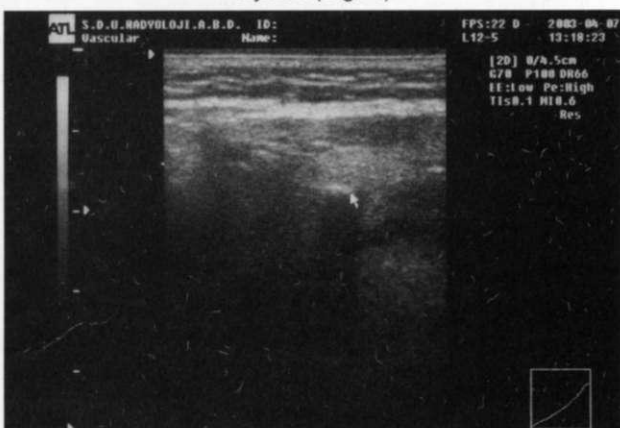
#### Olgı 5

47 yaşında kadın hasta protez yaptırmak amacıyla kliniğimize başvurdu. Ekstraoral muayene bulguları normaldi. İnteror muayenede sağda, ağız tabanının posteriorunda palpasyonda sert kitle tespit edildi.

Panoramik radyografta sağ mandibula altında, retromolar bölge hızında, düzensiz fakat belirgin sınırlı, yuvarlak, radyoopak oluşum gözlandı. Oluşum alt kenarı hyoid kemigin görüntüsü üzerine süperpoze olmuştu (Resim 9). Okluzal radyografta siyalolit gözlenmedi. Hasta ultrasonografik inceleme için sevk edildi. US'de posterior akustik gölge ile birlikte hiperekoik kitle izlendi (Resim 10).



Resim 9. Panoramik radyografta sağ mandibula altında, alt kenarı hyoid kemigin görüntüsü üzerine süperpoze olmuş siyalolit (Olgı 5).



Resim 10. US'de posterior akustik gölge ile birlikte hiperekoik kitle (Olgı 5).

Klinik, radyografik ve ultrasonografik bulgular siyalolit ile uyumlu bulundu, hasta Ağız, Diş ve Çene Hastalıkları Cerrahisi kliniğine sevk edildi.

### TARTIŞMA

Siyalolit olgularında diagnostik görüntülemenin amacı klinik olarak şüphe edilen siyalolitlerin görüntülenerek teşhisin kesinleştirilmesi, siyalolit düşündürüren görüntülerin ayırcı tanısının yapılması ve siyalolitlerin lokalizasyonu ile ilgili yeterli bilgi edinilmesidir. Submandibuler siyalolitlerin ayırcı tanısında kalsifiye lenf nodu, flebolit, fasial arter kalsifikasyonu ve anatomiik oluşumlar (örn. hyoid kemik) göz önünde bulundurulmalıdır.<sup>4, 7, 10</sup>

Submandibuler siyalolit şüphesi olan durumlarda okluzal ve panoramik radyograflar yararlıdır. Submandibuler siyalolitler panoramik radyograflarda tesadüfi olarak da tespit edilebilir.<sup>10</sup> Siyalolitleri görüntülemek amacıyla alınan radyograflarda ışınlama süresi yarıya indirilmelidir.<sup>4</sup> Bu vaka serisinde de beş Submandibuler siyalolit olgusunun üçü panoramik radyograflarda tesadüfi olarak tespit edilmiştir; bir olguda da okluzal radyografta izlenemeyen siyalolit panoramik radyografta görüntülenebilmiştir. Ancak sadece bir olguda siyalolit okluzal radyografta gösterebilmiştir. Bunun nedeni diğer olgularda siyalolitin okluzal radyografta mandibula altına superpoze olması olabilir.

Klinik olarak şüphe edilen siyalolitlerde ilk görüntüleme seçenekleri olarak US önerilmektedir.<sup>12</sup> US, siyalolitlerin görüntülenebilmesinin yanı sıra, lokalizasyonlarının belirlenebilmesi ve kalsifiye lenf nodlarından ayırdedilmesinde faydalıdır.<sup>7</sup> Duktal dilatasyon ve enflamatuar değişiklikler gibi indirekt bulgular da verir.<sup>5</sup> Siyalolitlerin ultrasonografik görünümü, 1. hiperekoik kitle, 2. akustik gölge ile birlikte hiperekoik kitle, 3. posterior akustik gölgenin eşlik ettiği yüksek seviyeli reverberasyon ekoları, şeklinde olabilir.<sup>4,7,11</sup> Posterior akustik gölge, sesin hemen tümünün yolu üzerindeki bir oluşum (örn. siyalolit) tarafından geri yansıtılması sonucunda gelişen bir artefakttır ve ilgili oluşumun arkasındaki bölge ekosuz siyah bir bant şeklinde görülür. Reverberasyon ekosu yansıtıcı yüzeyden gelen ekoların bir kısmının transduser yüzeyinden geri dönerek tekrar yansıtıcı yüzeye çarpması sonucunda, yansıtıcı yüzeyin gerisinde eko birimi ile ortaya çıkan artefakttır.<sup>8</sup> Lenf nodu kalsifikasyonları ise US'de lenf nodunun içinde, hiperekoik bir odak şeklinde görülür, yoğun veya punktat ekojenik

odaklar olabilir. Yoğun intranodal kalsifikasyon genellikle gölge oluşturur, ancak ince punktat kalsifikasyonlarda posterior gölge olmamıştır.<sup>7</sup> Ultrasonografik inceleme yaptığımız olgulardan birinde siyalolit hiperekoik olarak, birinde posterior akustik gölge ile birlikte hiperekoik olarak görüntülenmemiş ve lokalizasyonları tespit edilememiştir. Bir olguda siyalolit uyumlu görüntü elde edilememiştir, ancak intraglandüler kanaliküllerin genişlemesi olması siyalolit olasılığını güçlendiren bir bulgu olarak değerlendirilmiştir. Üç olgumuzda da lenf bezi kalsifikasyonu ve diğer olasılıklar ekarte edilememiştir.

Tüm yararlarına karşı US her zaman kolay ulaşılabilir değildir. Ayrıca siyalolitler her zaman US ile tespit edilemeyebilir; bunun nedenleri taşın küçük olması, kullanılan cihaz ve probun uygun özelliklerde olmaması ve uygulayıcının bilgi ve deneyiminin yetersizliği olabilir.<sup>9</sup>

Sialografi invaziv bir yöntem olmasına rağmen siyalolitlerin kalsifiye lenf nodu ve flebolitlerden ayırdedilmesinde yardımcıdır; bez dışındaki veya ekstra-kanaliküler flebolitlerin ayırdedilmesini kolaylaştırır. Siyalolitlerin kesin lokalizasyonu ve kanal sistemi ile ilgili ek bilgiler edinmek için de uygun bir yöntemdir, ancak bezde enfeksiyon varsa uygulanamaz. Sialografide siyalolitler tam veya kısmi dolum defekti şeklinde görülebilir ve boşalma fazında retansiyon görülebilir. Siyalolitin proksimalinde dilatasyon görülebilir. Siyalolit olan duktuslarda daralma görülür. İtraduktal kanallar psödodivertikül şeklinde izlenir.<sup>4,7</sup> Ultrasonografide siyalolit izlenememesi nedeni ile sialografi yapılan olgumuzda da intraglandüler kanallar ve Wharton kanalının durumu izlenmemiştir; Wharton kanalının bezle birleştiği bölgede siyalolite uyumlu, tükürük akışına izin veren yaklaşık 7 mm çapında kısmi dolum defekti gözlenmiştir. Kalsifiye lenf nodu ve flebolith olasılıkları da kesin olarak ekarte edilebilmiştir.

### SONUÇ

Klinik olarak şüphe edilen siyalolitlerde ilk görüntüleme seçenekleri olarak ultrasonografi uygundur; radyograflarda tesadüfen gözlenen siyalolitlerin ayırcı tanısında ve lokalizasyon tespitinde de yararlıdır.

Submandibuler siyalolitlerin görüntülenmesinde panoramik ve okluzal radyograflardan yararlanılabilir.

Sialografi invaziv bir yöntem olduğundan seçilmiş hastalarda uygulanmalıdır.

#### KAYNAKLAR

1. Ahuja A, Ying M. Grey-scale sonography in assessment of cervical lymphadenopathy: review of sonographic appearances and features that may help a beginner. Br J Oral Maxillofac Surg 38: 451-459, 2000.
2. Avrahami E, Englander M, Chen E, Shabtay D, Katz R, Harell M. CT of submandibular gland sialolithiasis. Neuroradiology 38: 287-290, 1996.
3. Becker M, Marchal F, Becker CD, Dulguerov P, Georgakopoulos G, Lehmann W, Terrier F. Sialolithiasis and salivary ductal stenosis: diagnostic accuracy of MR sialography with a three-dimensional extended-phase conjugate-symmetry rapid spin-echo sequence. Radiology 217: 347-358, 2000.
4. Goaz PW, White SC. Oral Radiology Principles and Interpretation. Mosby, USA, 1994.
5. Gritzmann N, Rettenbacher T, Hollerweger A, Macheiner P, Hubner E. Sonography of the salivary glands. Eur Radiol 13: 964-975, 2003.
6. Günaydin Y, Karakurumer K, Öztürk A, Şahin M. Sialolithiasis. Ankara Univ Dişhek Fak Derg 16: 493-496, 1989.
7. Kaya S. Tükürük Bezi Hastalıkları. Güneş Kitabevi Ankara, 207-214, 1997.
8. Oyar O. Radyolojide Temel Fizik Kavamlar. Nobel Tip Kitapları, 1998.
9. Schratter M, Steiner E, Imhof H. Conventional roentgen diagnosis of the salivary glands. Still of clinical value or "traditional care". Radiologe 34: 248-253, 1994.
10. Wood N, Goaz PW, Lehnert JF. Periapical radiopacities: Wood NK, Goaz PW. Differential Diagnosis of Oral and Maxillofacial Lesions. Mosby USA, 471-472, 1997.
11. Yoshimura Y, Inoue Y, Odagawa T. Sonographic examination of sialolithiasis. J Oral Maxillofac Surg 47: 907-912, 1989.
12. Zenk J, Constantinidis J, Kydles S, Hornung J, Iro H. Klinische und diagnostische Befunde bei der sialolithiasis. HNO 47: 963-969, 1999.

#### Yazışma adresi

Yrd. Doç. Dr. Ülkem AYDIN  
Süleyman Demirel Üniversitesi  
Dişhekimliği Fakültesi  
Oral Diagnoz ve Radyoloji Bölümü  
Doğu Kampüsü 32200 Çünür İSPARTA  
Tel: (0246) 211 32 54 Faks: (0246) 237 06 07  
E-mail: ulkem\_aydin@yahoo.com